

МИНИСТЕРСТВО ОБРАЗОВАНИЯ И НАУКИ РОССИЙСКОЙ ФЕДЕРАЦИИ
ФЕДЕРАЛЬНОЕ ГОСУДАРСТВЕННОЕ АВТОНОМНОЕ ОБРАЗОВАТЕЛЬНОЕ
УЧРЕЖДЕНИЕ ВЫСШЕГО ОБРАЗОВАНИЯ
«Национальный исследовательский ядерный университет «МИФИ»
(НИЯУ МИФИ)

Институт интеллектуальных кибернетических систем
Кафедра Кибернетики

Лабораторная работа №5
«Идентификация параметров линейного регрессионного
объекта при загрязненных шумах»
Вариант №14

Выполнил студент группы Б17-511:

Чудновец И.В.

Проверила:

Воробьева Д.В.

Москва, 2021

Цель работы

Исследование эффективности применения подхода Хубера при идентификации параметров линейного регрессионного объекта в условиях бедной априорной информации о шумах.

Описание метода

Дан линейный регрессионный объект вида:

$$y(i) = b_1 u_1(i) + \dots + b_n u_n(i) + \eta(i)$$

Шум измерений принадлежит классу α -загрязненных распределений. Для определения функции потерь для формирования рекуррентного алгоритма определения параметров линейного регрессионного объекта в условиях α -загрязненных распределений шумов является подход Хубера, основанный на теореме Хубера:

$$\Phi = \{f(\eta): f(\eta) = (1-\alpha)h(\eta) + \alpha g(\eta)\},$$

где $f(\eta)$ – распределение помех, $h(\eta)$ — некоторая известная плотность распределения, $g(\eta)$ - произвольная неизвестная плотность распределения и α - вероятность появления «выброса» с распределением $g(\eta)$, α удовлетворяет условию:

$$0 \leq \alpha \leq 1$$

Результат, полученный Хубером, получил название «Теорема Хубера».

$f(\eta) = (1-\alpha)f_N(\eta) + \alpha g(\eta)$ - помеха принадлежит классу приближенно нормальных распределений, где $f_N(\eta)$ – нормальное распределение, α — вероятность появления «выброса» с распределением $g(\eta)$

$$f_N(\eta) = \frac{1}{\sqrt{2\pi\sigma_\eta^2}} e^{-\frac{\eta^2}{2\sigma_\eta^2}}$$

Оптимальная на классе плотность распределения:

$$f^*(\eta) = \begin{cases} (1-\alpha) \frac{1}{(2\pi\sigma_\eta^2)^{1/2}} \exp\left[-\frac{1}{2\sigma_\eta^2} \eta_0^2\right] \exp[k(\eta - \eta_0)], & \eta < \eta_0; \\ (1-\alpha) \frac{1}{(2\pi\sigma_\eta^2)^{1/2}} \exp\left[-\frac{1}{2\sigma_\eta^2} \eta^2\right], & \eta_0 \leq \eta \leq \eta_1; \\ (1-\alpha) \frac{1}{(2\pi\sigma_\eta^2)^{1/2}} \exp\left[-\frac{1}{2\sigma_\eta^2} \eta_1^2\right] \exp[-k(\eta - \eta_1)], & \eta > \eta_1. \end{cases}$$

Соответствующая функция потерь будет иметь вид:

$$F^*(\varepsilon) = \begin{cases} -\ln \left[(1-\alpha) \frac{1}{\sqrt{2\pi\sigma_\eta^2}} \right] + \frac{1}{2\sigma_\eta^2} \eta_0^2 - k(\varepsilon - \eta_0), & \varepsilon \leq \eta_0; \\ -\ln \left[(1-\alpha) \frac{1}{\sqrt{2\pi\sigma_\eta^2}} \right] + \frac{1}{2\sigma_\eta^2} \varepsilon^2, & \eta_0 \leq \varepsilon \leq \eta_1; \\ -\ln \left[(1-\alpha) \frac{1}{\sqrt{2\pi\sigma_\eta^2}} \right] + \frac{1}{2\sigma_\eta^2} \eta_1^2 + k(\varepsilon - \eta_1), & \varepsilon \geq \eta_1. \end{cases}$$

Форма рекуррентного алгоритма для оценивания параметров регрессионного объекта при условии, что на систему действует случайная помеха, имеющая приближенно нормальный закон распределения:

$$F^*(\varepsilon) = \begin{cases} \frac{1}{2\sigma_\eta^2} \eta_0^2 - k(\varepsilon - \eta_0), & \varepsilon \leq \eta_0; \\ \frac{1}{2\sigma_\eta^2} \varepsilon^2, & \eta_0 \leq \varepsilon \leq \eta_1; \\ \frac{1}{2\sigma_\eta^2} \eta_1^2 + k(\varepsilon - \eta_1), & \varepsilon \geq \eta_1. \end{cases}$$

Окончание рекуррентного процесса связано с прекращением нормального функционирования объекта идентификации, в частности, с получением достоверной информации от датчиков.

Результаты работы

Параметры объекта: $M = 4$

$$b_0=3,5 \quad b_1=-0,3 \quad b_2=0 \quad b_3=6,0 \quad b_4=-2,2$$

Входные воздействия $U_1(i), U_2(i), U_3(i), U_4(i)$ имели нормальный закон распределения: $M_{U_1} = 1, M_{U_2} = 1, M_{U_3} = 1, M_{U_4} = 1$

$$\sigma^2_{U_1} = 50, \sigma^2_{U_2} = 50, \sigma^2_{U_3} = 50, \sigma^2_{U_4} = 50$$

$N = 200$ – количество измерений

Шум, действующий в объекте $\eta(i)$, имел приближенно нормальный закон распределения:

$$f(\eta) = (1-\alpha)f_N(\eta) + \alpha g(\eta),$$

где $f_N(\eta)$ — нормальный закон распределения:

$$f_N(\eta) = \frac{1}{(2\pi)^{1/2} \sigma_\eta} e^{-\frac{1}{2\sigma_\eta^2} \eta^2},$$

а «выброс» $g(\eta)$ — также нормальный закон распределения

$$g(\eta) = \frac{1}{(2\pi)^{1/2} \sigma_{\eta \text{ выбр}}} e^{-\frac{1}{2\sigma_{\eta \text{ выбр}}^2} \eta^2}$$

Оценка эффективности алгоритма Хубера по сравнению с обычным рекуррентным алгоритмом с квадратичной функцией потерь (линейный рекуррентный алгоритм) проводилась при следующих статистических характеристиках распределений:

$$1) \sigma_\eta = 0.5; \alpha = 0.1; \sigma_{\eta \text{ выбр}} = 10;$$

$$2) \sigma_\eta = 0.5; \alpha = 0.1; \sigma_{\eta \text{ выбр}} = 20;$$

$$3) \sigma_\eta = 0.5; \alpha = 0.1; \sigma_{\eta \text{ выбр}} = 30;$$

$$4) \sigma_\eta = 0.5; \alpha = 0.3; \sigma_{\eta \text{ выбр}} = 10;$$

$$5) \sigma_\eta = 0.5; \alpha = 0.3; \sigma_{\eta \text{ выбр}} = 20;$$

$$6) \sigma_\eta = 0.5; \alpha = 0.3; \sigma_{\eta \text{ выбр}} = 30;$$

По полученным результатам были построены графики сходимости сглаженной ошибки по двум алгоритмам: алгоритм с использованием теоремы Хубера и рекуррентный алгоритм, соответствующий методу наименьших квадратов.



Рис.1. График зависимости сглаженной ошибки оценки от номера измерений для $\sigma_\eta = 0.5$; $\alpha = 0.1$; $\sigma_{\eta_{\text{выбр}}} = 10$; (a — алгоритм Хубера; b — МНК) $f(\eta) = (1-\alpha)fN(\eta) + \alpha g(\eta)$



Рис.2. График зависимости сглаженной ошибки оценки от номера измерений для $\sigma_\eta = 0.5$; $\alpha = 0.1$; $\sigma_{\eta_{\text{выбр}}} = 20$; (a — алгоритм Хубера; b — МНК)



Рис.3. График зависимости сглаженной ошибки оценки от номера измерений для $\sigma_\eta = 0.5$; $\alpha = 0.1$; $\sigma_{\eta_{\text{выбр}}} = 30$; (а — алгоритм Хубера; б — МНК)

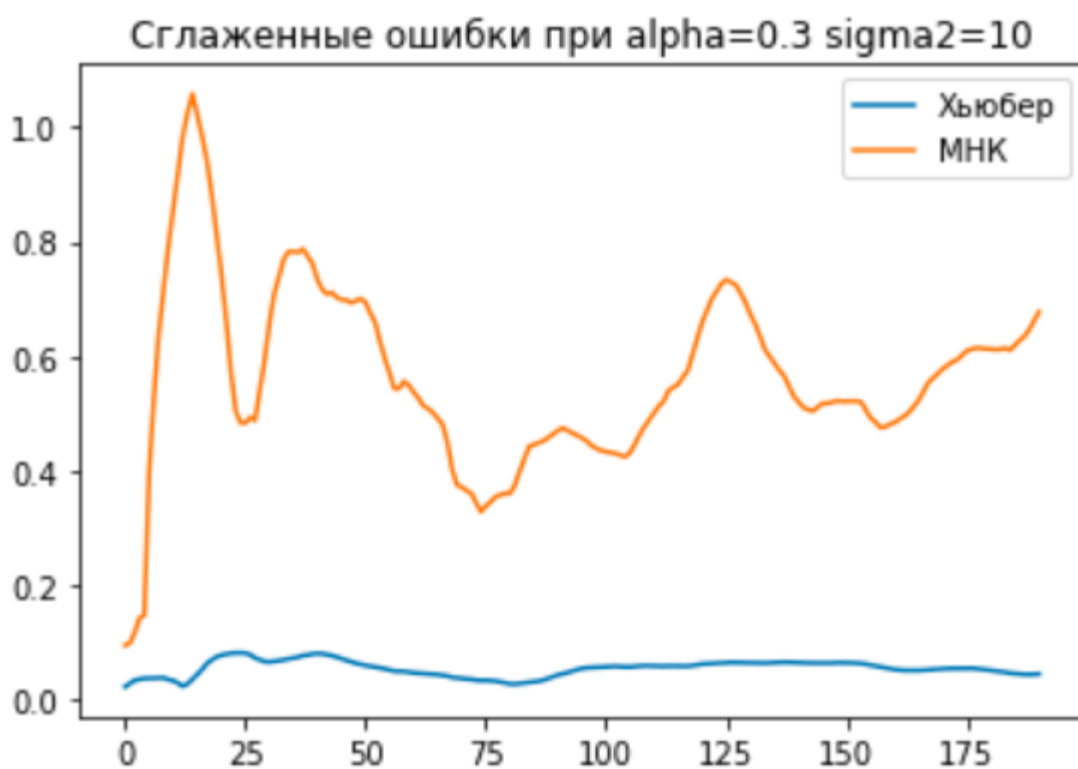


Рис.4. График зависимости сглаженной ошибки оценки от номера измерений для $\sigma_\eta = 0.5$; $\alpha = 0.3$; $\sigma_{\eta_{\text{выбр}}} = 10$; (а — алгоритм Хубера; б — МНК)

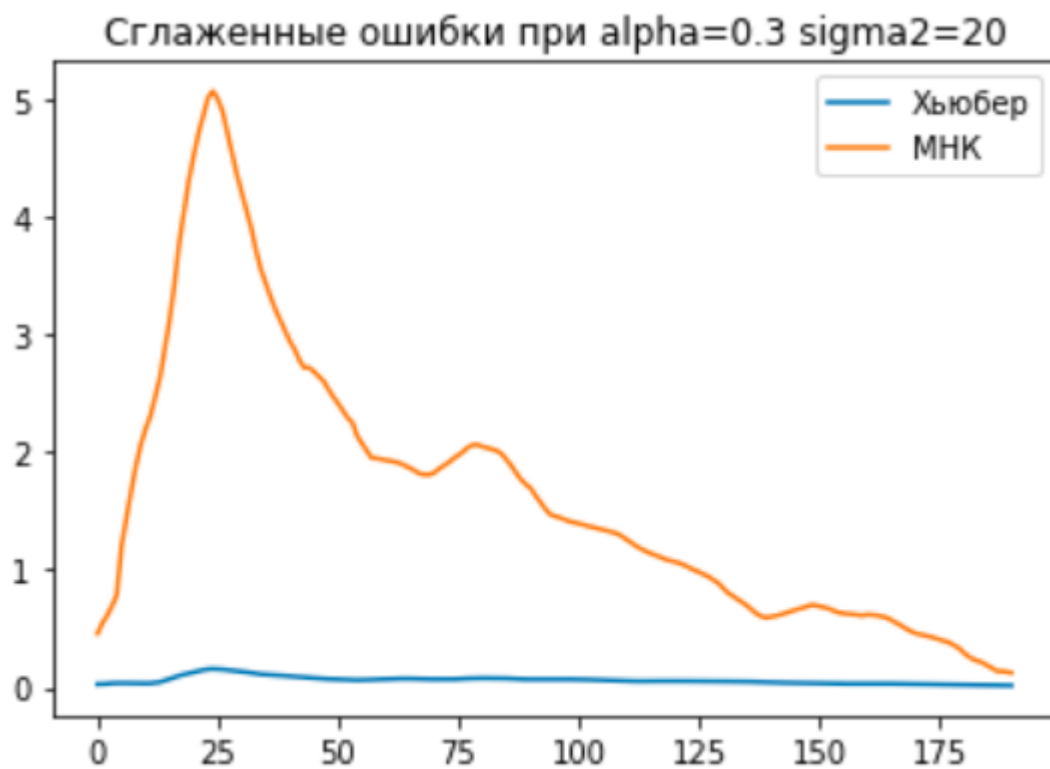


Рис.5. График зависимости сглаженной ошибки оценки от номера измерений для $\sigma_{\eta} = 0.5$; $\alpha = 0.3$; $\sigma_{\eta_{\text{выбр}}} = 20$; (а — алгоритм Хубера; б — МНК)



Рис.6. График зависимости сглаженной ошибки оценки от номера измерений для $\sigma_{\eta} = 0.5$; $\alpha = 0.3$; $\sigma_{\eta_{\text{выбр}}} = 30$; (а — алгоритм Хубера; б — МНК)

Закключение

В данной работе проводилось исследование эффективности применения подхода Хубера при идентификации параметров линейного регрессионного объекта в условиях бедной априорной информации о шумах.

Были проведены эксперименты при различных статистических характеристиках распределений: вероятности появления выброса и СКО.

Из графиков видно, что эффективность использования рекуррентного алгоритма с использованием теоремы Хубера возрастает с увеличением вероятности выброса α и с увеличением интенсивности выброса. При больших α и $\sigma_{\eta_{\text{выбр}}}$ обычный рекуррентный алгоритм практически неработоспособен, тогда как алгоритм Хубера обеспечивает достаточно хорошую сходимость оценок к истинным значениям параметров.